

# СТРУКТУРА И МАГНИТОСОПРОТИВЛЕНИЕ ТОНКОЙ ПЛЕНКИ

## $\text{Ni}_{79.7}\text{Fe}_{14.0}\text{Co}_{2.8}\text{Zr}_{2.0}\text{Cu}_{1.5}$

**B. H. Варюхин, A. I. Изотов, T. T. Мороз\*, B. E. Шкуратов**

Донецкий физико-технический институт им. А. А. Галкина Национальной академии наук Украины  
83114, Донецк, Украина

Поступила в редакцию 8 июня 2012 г.

Методами рентгеноструктурного анализа и резистометрии изучены структура и магнитосопротивление  $R$  тонких пленок на основе пермаллоя  $\text{Ni}_{80}\text{Fe}_{20}$  с добавками Co, Zr и Cu. Пленки получены методом ионно-плазменного распыления на холодные подложки из окисленного кремния, плавленого кварца и ситалла. Показано, что в исходном состоянии структура пленки представляет собой смесь твердых растворов на основе двух фаз:  $\text{Ni}(\Gamma\text{ЦК})$  с размером частиц  $L \approx 8$  нм и соединения  $(\text{Zr}_{0.67}\text{Ni}_{0.22}\text{O}_{0.11})\gamma$  с  $L \approx 12$  нм. Зависимости  $R(H)$  от величины и направления магнитного поля  $H$  получены при комнатной температуре для пленочных образцов в исходном состоянии и после изотермического отжига (653 К, 1 ч). Анализ приведенных зависимостей  $R(H)$  с учетом данных рентгеноструктурного анализа дает основание предположить, что в исходном состоянии пленки находятся в суперпарамагнитном состоянии, а после изотермического отжига обнаруживают ферромагнитное поведение.

DOI: 10.7868/S0044451013010136

### 1. ВВЕДЕНИЕ

В настоящее время благодаря миниатюризации электронных устройств большое внимание уделяется развитию методов получения и исследования фундаментальных свойств наноразмерных магнитных материалов. Особый интерес вызывают магнитные свойства гранулированных металлических пленок и высокодисперсных ферритовых порошков, в которых наблюдается суперпарамагнитное поведение частиц, достигших критического объема [1–5]. Суперпарамагнитное и суперферромагнитное поведение частиц нанокристаллической фазы Fe–Si при комнатной температуре обнаружили авторы работы [6] в ленточных образцах аморфных сплавов типа FINEMET в зависимости от условий отжига и объемной доли кристаллической фазы. Возможность получения смешанного аморфно-нанокристаллического состояния в этих сплавах обеспечивается присутствием в их составе небольших добавок таких элементов, как Cu, Nb, Zr и др. [7].

Цель настоящей работы — изучить структуру и магнитосопротивление тонкой пленки на основе пермаллоя  $\text{Ni}_{80}\text{Fe}_{20}$  с добавками Cu, Co, Zr.

\*E-mail: ftimoroz@mail.ru

### 2. МАТЕРИАЛ И МЕТОДИКА ЭКСПЕРИМЕНТА

Материал исследования — тонкие пленки состава  $\text{Ni}_{79.7}\text{Fe}_{14.0}\text{Co}_{2.8}\text{Zr}_{2.0}\text{Cu}_{1.5}$ , полученные методом ионно-плазменного распыления на холодные подложки из окисленного кремния, плавленого кварца и ситалла в атмосфере неона. Основой составного катода является диск, изготовленный из пермаллоя  $\text{Ni}_{80}\text{Fe}_{20}$ , в который симметрично относительно центра вкручены вставки из Co, Zr и Cu. Поскольку поверхности всех компонентов катода находятся в одной плоскости, концентрации распыленных компонентов в составе пленки должны быть пропорциональны произведению площади на коэффициент распыления соответствующих компонентов. Рассчитанный таким образом химический состав материала пленок уточнен с помощью растрового электронного микроскопа JEOL JSM-6490 LV с приставкой для энергодисперсионного анализа. Специальная маска, изготовленная из меди, обеспечила получение пленок заданного размера  $1.5 \times 50$  мм<sup>2</sup> при толщине пленки около 100 нм с удельным сопротивлением примерно 90 мкОм·см.

Структурные данные получены с помощью прибора ДРОН-3М в  $\text{CuK}_\alpha$ -излучении. Размер частиц нанокристаллических фаз оценен по ширине со-

ответствующих дифракционных максимумов с погрешностью, не превышающей  $\pm 15\%$ , с использованием формулы Шеррера–Селякова [8]

$$L_{hkl} = n\lambda/\beta \cos \theta,$$

где  $L_{hkl}$  — размер частиц в направлении, перпендикулярном отражающей (под углом  $90^\circ - \theta$ ) плоскости  $(hkl)$ ,  $n$  — коэффициент, учитывающий форму частиц и индексы  $(hkl)$  отражения, принят за единицу,  $\lambda$  — длина волны рентгеновского излучения,  $\beta$  — интегральная ширина линии  $(hkl)$ .

Электрическое сопротивление  $R$  измерено четырехзондовым методом на постоянном токе (погрешность измерения  $\pm 2 \cdot 10^{-5}$  Ом). Падение напряжения на пленочном образце (пропорциональное  $\Delta R$ ) и температуру (с точностью  $\pm 1.5$  К) при нагреве (со скоростью  $0.1$  К/с) записывали с помощью шестиканального потенциометра КСП-4.

Зависимости  $(R - R_m)/R_m = \Delta R/R_m$  от напряженности  $H$  магнитного поля, приложенного в плоскости образца, получены при комнатной температуре при изменении поля от 220 до  $-220$  Э и от  $-220$  до 220 Э ( $R$  и  $R_m$  — соответственно текущее и измеренное при максимальном поле значения магнитосопротивления пленочного образца). Величина электрического тока через образец изменялась в пределах 30–60 мКА и существенного влияния на результаты измерения не оказывала.

### 3. РЕЗУЛЬТАТЫ И ИХ ОБСУЖДЕНИЕ

На рис. 1 показана зависимость интенсивности  $I$  рассеяния рентгеновских лучей пленочным образцом в исходном состоянии от угла рассеяния  $2\theta$ . Кривая  $I(2\theta)$  содержит две области с максимумами интенсивности, соответствующими углам  $2\theta = 41.8^\circ$  и  $2\theta = 44.7^\circ$ . Анализируя профиль рассматриваемой кривой, можно отметить «наплывы» в окрестности углов  $2\theta \approx 42.7^\circ$  и  $2\theta \approx 45.8^\circ$ .

С помощью компьютерной программы для расчета рентгеновских спектров мы попытались представить экспериментальную кривую  $I(2\theta)$  в виде суперпозиции четырех дифракционных отражений с максимумами, соответствующими отмеченным углам  $2\theta_1 \approx 41.8^\circ$ ,  $2\theta_2 \approx 42.7^\circ$ ,  $2\theta_3 \approx 44.7^\circ$  и  $2\theta_4 \approx 45.8^\circ$ . Наиболее удачной оказалась подгонка с использованием в качестве подгночной функции гауссiana. При этом значения углов рассеяния оказались равными  $2\theta_1 \approx 41.5^\circ$ ,  $2\theta_2 \approx 42.1^\circ$ ,  $2\theta_3 \approx 44.7^\circ$  и  $2\theta_4 \approx 45.8^\circ$ .

Самую интенсивную линию, максимум которой соответствует углу  $2\theta = 44.7^\circ$ , мы связываем с

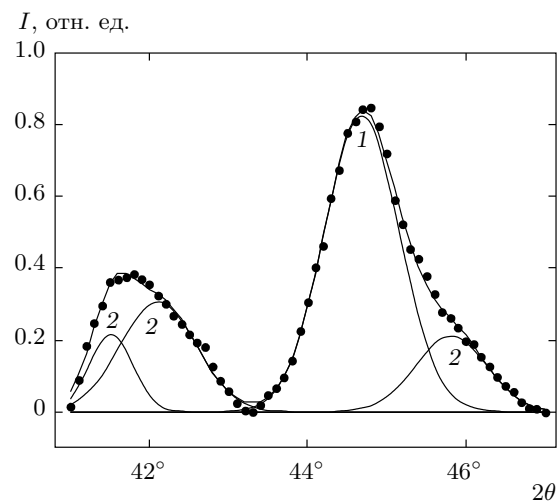


Рис. 1. Зависимость интенсивности  $I$  рассеяния рентгеновских лучей пленочным образцом в исходном состоянии от угла рассеяния  $2\theta$  (Си $K_\alpha$ -излучение): 1 — Ni(ГЦК); 2 —  $(\text{Zr}_{0.67}\text{Ni}_{0.22}\text{O}_{0.11})\gamma$

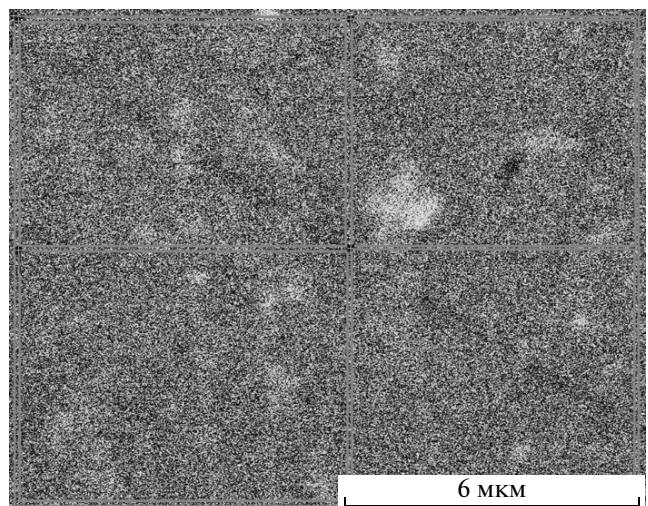
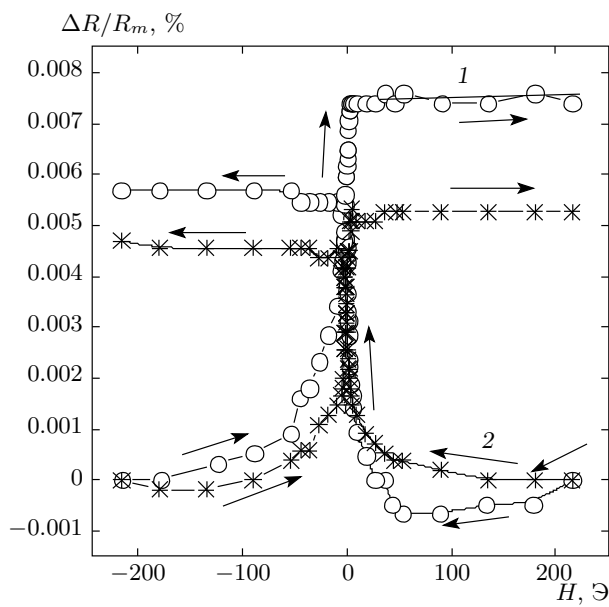


Рис. 2. Электронное изображение поверхности пленочного образца в исходном состоянии

рассеянием рентгеновских лучей системой плоскостей (111) твердого раствора на основе Ni(ГЦК). Дифракционные отражения, соответствующие рассеянию системой плоскостей с межплоскостными расстояниями  $d_1 = 0.2175$  нм ( $2\theta = 41.5^\circ$ ),  $d_2 = 0.2146$  нм ( $2\theta = 42.1^\circ$ ) и  $d_3 = 0.980$  нм ( $2\theta = 45.8^\circ$ ), относим к твердому раствору на основе соединения  $(\text{Zr}_{0.67}\text{Ni}_{0.22}\text{O}_{0.11})\gamma$  (ASTM 14-609).

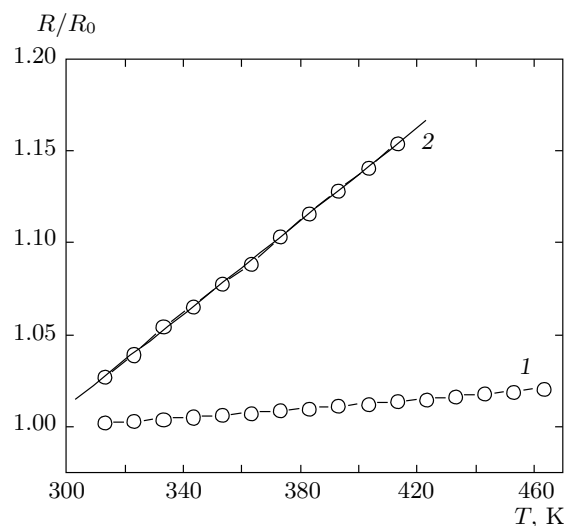
Таким образом, анализ данных рентгеноструктурного анализа приводит к выводу о том, что



**Рис. 3.** Зависимости относительного изменения электросопротивления  $\Delta R/R_m$  пленочного образца (исходное состояние) от напряженности  $H$  магнитного поля, направленного параллельно (1) и перпендикулярно (2) длинной оси образца

структурой материала пленки в исходном состоянии представляет собой смесь твердых растворов на основе двух фаз: никеля (ГЦК) и соединения  $(\text{Zr}_{0.67}\text{Ni}_{0.22}\text{O}_{0.11})\gamma$ . Размер  $L$  частиц первой фазы составляет  $L_1 \approx 8$  нм, второй —  $L_2 \approx 12$  нм. Электронно-микроскопическое изображение поверхности образца в исходном состоянии (рис. 2) представляет собой дисперсионную смесь темных и светлых участков и типично для нанокристаллической структуры материала. При этом, анализируя элементный состав темных и светлых участков изображения, мы обнаружили повышенное содержание циркония в светлых участках.

На рис. 3 приведены зависимости относительного изменения магнитосопротивления  $\Delta R/R_m$  пленочного образца в исходном состоянии от напряженности  $H$  магнитного поля, ориентированного параллельно  $H_{\parallel}$  и перпендикулярно  $H_{\perp}$  направлению электрического тока, текущего вдоль длинной оси образца. Ход кривых одинаков для  $H_{\parallel}$  и  $H_{\perp}$ : с уменьшением  $H$  от 220 до -220 Э магнитосопротивление растет сначала медленно, в окрестности  $H$  от 2 до -2 Э — довольно резко, достигает максимального значения и практически не изменяется при дальнейшем повышении поля. При изменении направления поля на обратное процесс повторяется в том же по-



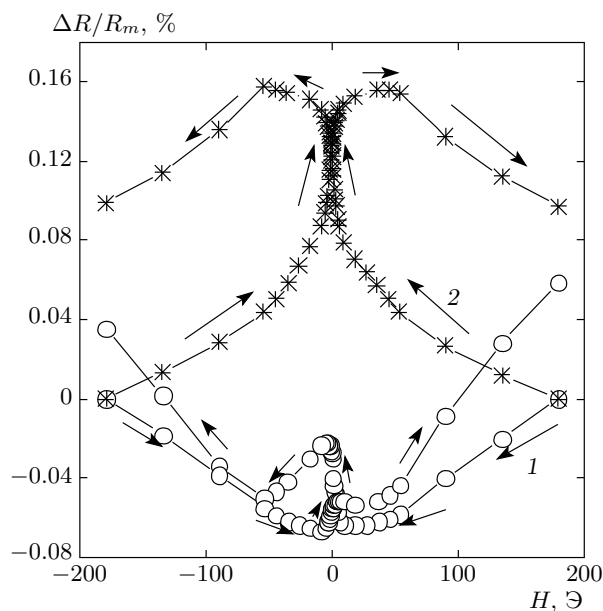
**Рис. 4.** Изменение относительного электросопротивления  $R/R_0$  в процессе непрерывного нагрева исследуемой пленки: 1 — в исходном состоянии (температурный коэффициент сопротивления  $1.25 \cdot 10^{-4} \text{ K}^{-1}$ ); 2 — после изотермического отжига ( $1.21 \cdot 10^{-3} \text{ K}^{-1}$ )

рядке при возрастшем значении максимального относительного изменения магнитосопротивления. Абсолютные значения  $\Delta R/R_m$  малы, магниторезистивное отношение [9]

$$\frac{\Delta R}{R_0} = \frac{R_{\parallel} - R_{\perp}}{(R_{\parallel} + 2R_{\perp})/3} \approx -0.1 \%$$

является отрицательной величиной. Здесь  $R_0$ ,  $R_{\parallel}$  и  $R_{\perp}$  — значения  $R$ , измеренные при  $H = 0$  и  $H = 220$  Э соответственно для параллельной и перпендикулярной ориентаций магнитного поля относительно длинной оси образца. Такая зависимость  $\Delta R/R_m$  от  $H_{\parallel}$  и  $H_{\perp}$  не характерна для ферромагнитного состояния, а скорее отвечает парамагнитному состоянию системы.

Изменение относительного электросопротивления  $R/R_0$  при нагреве до  $T = 473$  К пленочного образца в исходном состоянии показано на рис. 4 ( $R$  и  $R_0$  — соответственно текущее и измеренное при комнатной температуре перед нагреванием значения сопротивления образца). Температурная зависимость  $R/R_0$  представляет собой прямую, температурный коэффициент сопротивления составляет примерно  $1.25 \cdot 10^{-4} \text{ K}^{-1}$  и характерен для нанокристаллического состояния материала. После нагрева до 473 К сопротивление образца уменьшилось на 0.2 %, при этом абсолютные значения и характер зависимостей  $\Delta R/R_m$  от  $H_{\parallel}$  и  $H_{\perp}$  не изменились.



**Рис. 5.** Зависимости относительного изменения электросопротивления  $\Delta R/R_m$  пленочного образца, отожженного при 653 К (1 ч), от напряженности  $H$  магнитного поля, направленного параллельно (1) и перпендикулярно (2) длиной оси образца

На рис. 5 представлены типичные зависимости  $\Delta R/R_m$  от  $H_{\parallel}$  и  $H_{\perp}$ , полученные для образцов после изотермического отжига (653 К, 1 ч) и охлаждения в печи. Ход кривых резко изменился. В поле  $H_{\parallel}$  при изменении  $H$  от 220 до  $-220$  Э значения  $R$  сначала уменьшаются, затем, начиная с  $H = 9$  Э, увеличиваются, достигая максимума при  $H = -4.5$  Э, затем снова уменьшаются и, начиная с  $H = -5.5$  Э, растут при дальнейшем росте абсолютных значений  $H$ . При изменении  $H$  от  $-220$  до  $220$  Э ход кривой повторяется, при этом максимальное значение  $R$  наблюдается при  $H = -2.7$  Э. В поле  $H_{\perp}$  при изменении  $H$  от 220 до  $-220$  Э сопротивление наоборот растет, достигает максимального значения при  $H = -54$  Э, а затем уменьшается с ростом абсолютного значения  $H$ . При изменении  $H$  от  $-220$  до  $220$  Э максимальное значение  $R$  наблюдается при  $H = 45$  Э.

Такой характер зависимостей  $\Delta R/R_m$  от  $H_{\parallel}$  и  $H_{\perp}$  типичен для ферромагнитного состояния образца, в котором легкая ось намагничивания составляет некоторый угол с продольной осью образца, а значения  $H$ , соответствующие максимальным значениям  $R$ , близки к значениям коэрцитивной силы материала пленки [9]. Кроме того, абсолютные значения величин  $\Delta R/R_m$  (см. рис. 5) после отжига возросли на порядок по сравнению с аналогичными значениями

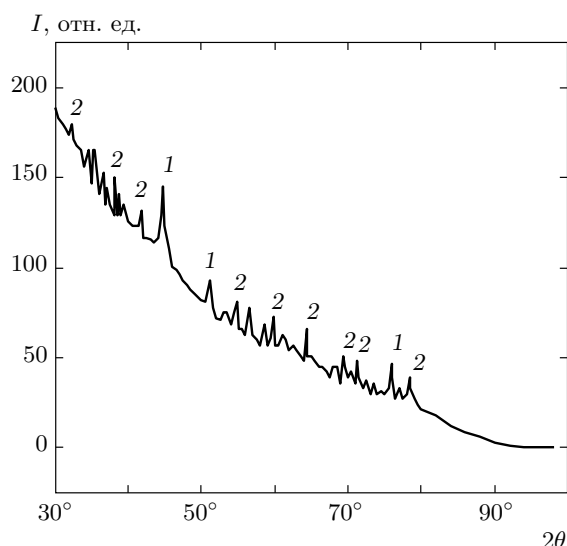
для образца в исходном состоянии. Анизотропное магниторезистивное отношение положительно и равно 0.2 %. При этом электросопротивление образца уменьшилось почти наполовину, а температурный коэффициент сопротивления возрос на порядок (см. рис. 4, кривая 2).

Полученные данные авторы объясняют следующим образом. В исходном состоянии материал пленки по данным рентгеноструктурного анализа и электронной микроскопии является двухфазным: первая фаза — твердый раствор на основе Ni(ГЦК) с размерами частиц около 8 нм (объемная доля этой фазы примерно 50 %) — окружена частицами парамагнитной фазы  $\gamma$ -ZrNi оксида с размерами частиц примерно 12 нм. Согласно литературным данным [2, 3, 10], размер частиц Ni при переходе в однодоменное состояние составляет 55 нм, а при переходе в суперпарамагнитное состояние — 5–15 нм. Учитывая ход зависимостей  $\Delta R/R_m$  от  $H_{\parallel}$  и  $H_{\perp}$  для исходного состояния пленок, можно предположить, что частицы фазы на основе Ni находятся при комнатной температуре в суперпарамагнитном состоянии. Мы оценили температуру  $T_b$  блокировки для частиц фазы на основе Ni с размером 8 нм в магнитном поле  $H = 0$ , используя выражение [5]:

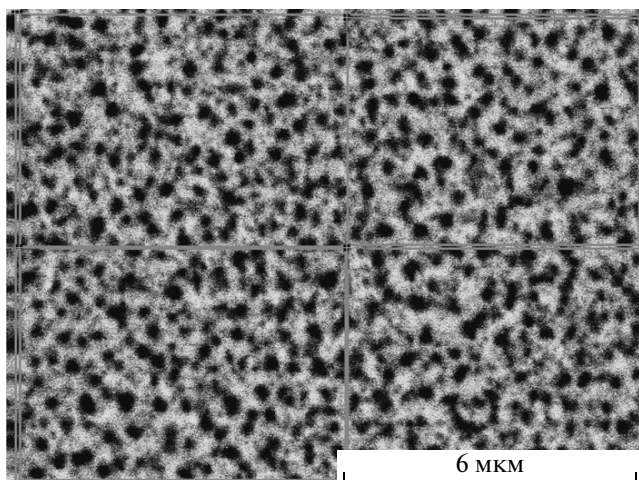
$$H_s I_s V = 50 k T_b,$$

где  $H_s$  — среднее значение поля анизотропии принято равным 7 кЭ,  $I_s$  — намагниченность в поле анизотропии макроскопического аналога принята равной 500 Гс,  $V$  — объем частицы, равный  $2.68 \cdot 10^{-19}$  см<sup>3</sup>. Оказалось, что  $T_b = 135.9$  К, т. е. при комнатной температуре существует вероятность наблюдения суперпарамагнитного поведения частиц фазы на основе Ni, имеющих размер 8 нм.

Обзорная рентгенограмма (рис. 6) пленочно-го образца после изотермического отжига содержит, во-первых, дифракционные отражения твердого раствора на основе Ni(ГЦК) — присутствуют отражения от системы плоскостей (111), (200) и (220). Во-вторых, зафиксированы дифракционные отражения твердого раствора на основе соединения  $(\text{Zr}_{0.67}\text{Ni}_{0.22}\text{O}_{0.11})\gamma$  не только в области отмеченных ранее углов, но и в области малых и больших углов рассеяния  $2\theta$ . С учетом геометрического фактора [8] уширения дифракционных линий размер  $L$  частиц первой фазы составляет  $L_1 \approx 80$  нм, второй —  $L_2 \approx 45$  нм. Электронно-микроскопическое изображение поверхности этого образца показано на рис. 7. Видны крупные выделения фазы на основе Ni, окруженные прослойкой более светлой фазы. Размер частиц первой фазы составляет примерно



**Рис. 6.** Рентгенограмма пленочного образца после изотермического отжига: 1 — Ni(ГЦК); 2 —  $(Zr_{0.67}Ni_{0.22}O_{0.11})\gamma$



**Рис. 7.** Электронно-микроскопическое изображение пленочного образца после изотермического отжига

90–120 нм, второй — 50–70 нм. При этом полученные (рис. 5) зависимости  $\Delta R/R_m$  от  $H_{\parallel}$  и  $H_{\perp}$  указывают на ферромагнитное поведение системы.

#### 4. ЗАКЛЮЧЕНИЕ

Методом ионно-плазменного распыления получены тонкие пленки состава

$Ni_{79.7}Fe_{14.0}Co_{2.8}Zr_{2.0}Cu_{1.5}$ . Показано, что исходное состояние пленок — двухфазное нанокристаллическое. Размер частиц фазы на основе Ni(ГЦК) составляет примерно 8 нм, второй фазы — на основе соединения  $(Zr_{0.67}Ni_{0.22}O_{0.11})\gamma$  — 12 нм.

Зависимости магнитосопротивления  $R$  от величины и направления магнитного поля  $H$ , приложенного в плоскости пленочного образца, получены при комнатной температуре для параллельного  $H_{\parallel}$  и перпендикулярного  $H_{\perp}$  направлений поля относительно направления электрического тока. Обнаружено, что ход кривых  $R(H_{\parallel})$  и  $R(H_{\perp})$  для исходного состояния пленок одинаков и характерен для парамагнитного состояния системы. После изотермического отжига (653 К, 1 ч) ход рассматриваемых кривых соответствует ферромагнитному состоянию материала пленок. Высказано предположение о том, что в исходном состоянии пленки находятся в суперпарамагнитном состоянии.

#### ЛИТЕРАТУРА

- Chen Chen, Osamu Kitakami, and Yutaka Shimada, J. Appl. Phys. **84**, 2184 (1998).
- J. I. Gittleman, Y. Goldstein, and S. Bozowski, Phys. Rev. B **5**, 36099 (1972).
- J. I. Gittleman, B. Abeles, and S. Bozowski, Phys. Rev. B **9**, 3891 (1974).
- З. В. Голубенко, А. С. Камзин, Л. П. Ольховик, З. И. Сизова, ФТТ **40**, 1294 (1998).
- К. А. Мозуль, Л. П. Ольховик, Е. В. Шурикова и др., ФТТ **53**, 2169 (2011).
- A. Slawska-Waniewska, M. Kuzminski, M. Gutowski, and H. K. Lachowicz, IEEE Trans. Magn. **29**, 2628 (1993).
- M. E. McHerry, M. A. Willard, and D. E. Laughlin, Progr. Mater. Sci. **44**, 291 (1999).
- Я. С. Уманский, Ю. Ф. Скаков, А. Н. Иванов, Л. Н. Растворгувев, *Кристаллография, рентгенография и электронная микроскопия*, Металлургия, Москва (1982).
- А. В. Медведь, Р. Г. Крышталь, А. И. Крикунов, ЖТФ **76**, 72 (2006).
- You-wei Du, Ming-Xiang Xu, Jian Wu et al., J. Appl. Phys. **70**, 5903 (1991).